



ИТОГИ НАУКИ И ТЕХНИКИ.  
Современная математика и ее приложения.  
Тематические обзоры.  
Том 221 (2023). С. 104–114  
DOI: 10.36535/0233-6723-2023-221-104-114

УДК 514.172.45

## О НЕСОСТАВНЫХ *RR*-МНОГОГРАННИКАХ ВТОРОГО ТИПА

© 2023 г. В. И. СУББОТИН

**Аннотация.** Рассмотрена задача существования одного класса замкнутых выпуклых многогранников в  $E^3$  — так называемых несоставных *RR*-многогранников. Проверка существования заключается в нахождении уравнения, из которого следует не только существование многогранника, но и вычисляется угол ромбов ромбической вершины.

**Ключевые слова:** *RR*-многогранник второго типа, ромбическая вершина, звезда вершины, несоставной *RR*-многогранник.

## ON NONCOMPOSITE *RR*-POLYHEDRA OF THE SECOND TYPE

© 2023 V. I. SUBBOTIN

**ABSTRACT.** The problem of the existence of one class of closed convex polyhedra in  $E^3$ —the so-called noncomposite *RR*-polyhedra—is examined. The existence test consists of finding an equation which implies the existence of a polyhedron and allows one to find the angle of rhombuses at a rhombic vertex.

**Keywords and phrases:** *RR*-polyhedron of the second type, rhombic vertex, vertex star, noncomposite *RR*-polyhedron.

**AMS Subject Classification:** 52B15

**1. Введение.** Вопрос о существовании и перечислении классов многогранников с заданными комбинаторными или метрическими свойствами — один из важных вопросов классической и современной геометрии многогранников, (см. [1, 2, 9–15, 17–19]). Ответ на этот вопрос для каждого конкретного класса многогранников может быть двояким: либо класс многогранников является метрически определённым (как, например, класс правильных или архimedовых многогранников), либо заданные свойства определяют класс многогранников с некоторым метрическим или даже комбинаторным произволом.

Представляют интерес те классы многогранников, которые могут быть вполне перечислены путём задания условий симметрии. При этом те условия, которые позволяют полностью перечислить класс многогранников с точностью до подобия каждого представителя этого класса, даже если этот класс содержит бесконечные серии многогранников, будем называть *жёсткими*. А те условия, задание которых даёт по крайней мере комбинаторное перечисление класса многогранников, будем называть *сильными*.

Например, класс правильногранных замкнутых выпуклых многогранников в  $E^3$ , изученный в [2] и [15], определяется жёсткими условиями симметрии — условием правильности граней. Сильные условия симметрии можно найти, например, в работе автора [3], в которой найдены все многогранники в  $E^3$ , сильно симметричные относительно вращения граней.

В работе автора [4] вводится класс так называемых *RR*-многогранников в  $E^3$  (от слов «*rombic*» и «*regular*»). В классе *RR* помимо условия симметрии — наличия правильных граней, есть и условие симметрии на звёзды некоторых вершин — существование в многограннике так называемых

симметричных ромбических вершин. Настоящая работа посвящена дальнейшему изучению этого класса многогранников.

Напомним основные определения.

Замкнутый выпуклый многогранник в  $E^3$  называется  $RR$ -многогранником (от слов «rombic» и «regular»), если у него существуют симметричные ромбические вершины, а все грани, не принадлежащие звёздам этих вершин, являются правильными многоугольниками.

Таким образом, замкнутый выпуклый многогранник в  $E^3$  является  $RR$ -многогранником, если множество всех его граней можно разбить на два непустых непересекающихся класса — класс граней, образующих гранные звёзды симметричных ромбических вершин и класс правильных граней.

Если правильные грани  $RR$ -многогранника одного типа, то он называется  $RR$ -многогранником *первого типа*.  $RR$ -многогранник относится ко *второму типу*, если его правильные грани различного типа. Вершина  $V$  при этом называется *ромбической*, если её грannая звезда  $\text{Star}(V)$  состоит из равных и одинаково расположенных, т.е. сходящихся в вершине  $V$  либо своими острыми, либо тупыми углами ромбов (не квадратов).

Вершина  $V$  называется *симметричной  $n$ -ромбической вершиной*, если она расположена на оси вращения звезды  $\text{Star}(V)$  и порядок оси совпадает с числом  $n$  ромбов звезды; для краткости вершину  $V$  в этом случае будем называть  *$n$ -ромбической*. Случай квадратов в  $\text{Star}(V)$  исключается, так как в этом случае получаем класс многогранников Джонсона—Залгаллера.

*Свободными углами* ромбической звезды будем называть углы с вершинами, совпадающими с общей вершиной двух тупых углов двух соседних ромбов.

Если поместить в свободные углы  $n$ -ромбической звезды правильные треугольные грани, то получим многогранную поверхность — ромбическую шапочку. Приклеивая к границе шапочки правильный  $n$ -угольник, получим выпуклый многогранник, который удобно назвать  *$n$ -ромбической пирамидой*.

*Несоставным* будем называть такой  $RR$ -многогранник второго типа, который нельзя разбить плоскостями на части, представляющие собой ромбические пирамиды и выпуклые многогранники с правильными гранями.

Ранее автором были найдены двадцать три  $RR$ -многогранника первого типа и доказана полнота списка таких многогранников [5–7], а в работе [8] найдены пятьдесят четыре составных  $RR$ -многогранника второго типа и также доказана полнота этого списка. При этом условия симметрии для  $RR$ -многогранников первого типа и составных  $RR$ -многогранников второго типа являются жёсткими.

В настоящей работе рассматриваются некоторые несоставные  $RR$ -многогранники второго типа. Дан подробный вывод так называемых *характеристических уравнений* двух  $RR$ -многогранников второго типа. С помощью характеристических уравнений вычисляется угол ромбов при ромбической вершине и из этих уравнений следует существование и единственность рассматриваемых многогранников.

## 2. Основные результаты.

Докажем две теоремы о существовании двух несоставных  $RR$ -многогранников.

**Теорема 1.** *Существует несоставной  $RR$ -многогранник с одной тупоугольной ромбической вершиной с тридцатью одной гранью, принадлежащей ко второму типу.*

*Доказательство.* К правильному плоскому 6-угольнику присоединим ось  $L$  его вращения, перпендикулярную плоскости 6-угольника. Рассмотрим совокупность правильных треугольников и квадрата, показанных на рис. 1 и отмеченных жирной линией. Отмеченные фигуры совместно с третьей частью 6-угольника, отмеченной жирным пунктиром, будут являться фундаментальной областью для группы  $C_{3v}$  относительно оси  $L$ . При действии этой группы получим многогранную поверхность с краем  $\Gamma$ . Далее для нас будет основной задачей доказать возможность присоединения тупоугольной ромбической звезды  $\text{Star}(V)$  к краю  $\Gamma$  таким образом, чтобы 3-ромбическая вершина  $V$  принадлежала оси  $L$  и чтобы  $L$  являлась осью вращения полученного этим построением  $RR$ -многогранника.

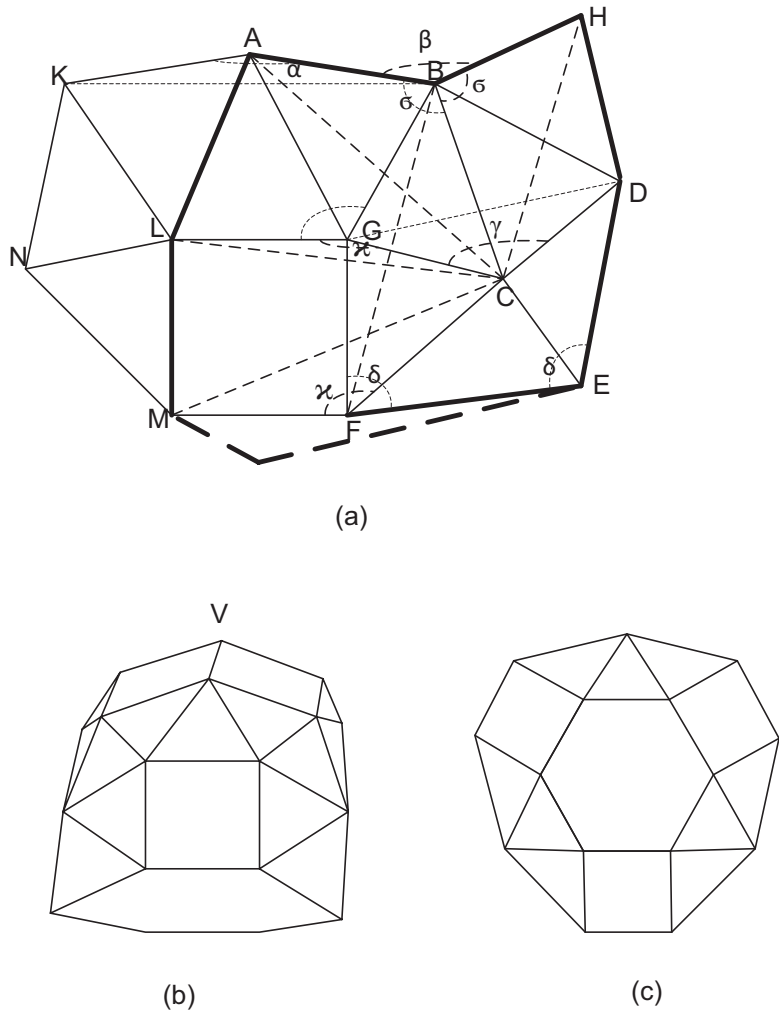


Рис. 1. К доказательству теоремы 1.

Очевидно, для возможной симметричной 3-ромбической вершины  $V$  углы  $KAB$  (обозначим его  $\alpha$ ) и  $ABH$  (обозначим  $\beta$ ) должны быть равны. Идея доказательства состоит в том, чтобы выразить оба эти угла как функции одного и того же угла ( $\gamma$ ) многогранника и приравнять их. Из полученного уравнения затем найти величины  $\alpha = \beta$  и затем величины углов ромбов ромбической вершины.

Пусть  $(3, 6)'$  — двугранный угол с ребром  $FE$  между плоскостью  $FGDE$  и плоскостью 6-угольного основания многогранника,  $\gamma$  — угол  $GCD$ , а  $\delta$  — равные тупые углы равнобедренной (в силу симметрии многогранника) трапеции  $FGDE$ . Рассмотрим трёхгранный угол  $FMGE$  с вершиной  $F$  (см. рис. 1(a)). Так как

$$\cos \frac{\pi}{2} = \cos \delta \cos \frac{2\pi}{3} + \sin \delta \sin \frac{2\pi}{3} \cos(3, 6)',$$

то, подставляя в это равенство значение

$$\cos \delta = \frac{1}{2} \left( 1 - 2 \sin \frac{\gamma}{2} \right), \quad (1)$$

которое следует из равнобедренности трапеции  $FGDE$ , получим выражение для  $\cos(3, 6)'$ :

$$\cos(3, 6)' = \frac{1 - 2 \sin \frac{\gamma}{2}}{\sqrt{3} \sqrt{3 + 4 \sin \frac{\gamma}{2} - 4 \sin^2 \frac{\gamma}{2}}}. \quad (2)$$

Пусть  $(3, 6)''$  — двугранный угол с ребром  $FE$  между плоскостью грани  $FCE$  и плоскостью  $FGDE$ . Тогда, рассматривая трёхгранный угол  $FGCE$ , из равенства

$$\cos \frac{\pi}{3} = \cos \delta \cos \frac{\pi}{3} + \sin \delta \sin \frac{\pi}{3} \cos(3, 6)''$$

с учётом (1) найдём:

$$\cos(3, 6)'' = \frac{1 + 2 \sin \frac{\gamma}{2}}{\sqrt{3} \sqrt{3 + 4 \sin \frac{\gamma}{2} - 4 \sin^2 \frac{\gamma}{2}}}. \quad (3)$$

Так как  $(3, 6)' + (3, 6)'' = (3, 6)$ , где  $(3, 6)$  — двугранный угол с ребром  $FE$  между гранью  $FCE$  и плоскостью 6-угольного основания, то из (2) и (3) следует:

$$\cos(3, 6) = \cos \left( \arccos \left( \frac{1 - 2 \sin \frac{\gamma}{2}}{\sqrt{3} \sqrt{3 + 4 \sin \frac{\gamma}{2} - 4 \sin^2 \frac{\gamma}{2}}} \right) + \arccos \left( \frac{1 + 2 \sin \frac{\gamma}{2}}{\sqrt{3} \sqrt{3 + 4 \sin \frac{\gamma}{2} - 4 \sin^2 \frac{\gamma}{2}}} \right) \right). \quad (4)$$

Обозначим через  $\kappa$  плоский угол  $MFC$ . Тогда из равенства

$$\cos \kappa = \cos \frac{2\pi}{3} \cos \frac{\pi}{3} + \sin \frac{2\pi}{3} \sin \frac{\pi}{3} \cos(3, 6)$$

получим:

$$\cos \kappa = -\frac{1}{4} + \frac{3}{4} \cos(3, 6). \quad (5)$$

С другой стороны, обозначая (4, 3) двугранный угол с ребром  $FG$ , из равенства

$$\cos \kappa = \cos \frac{\pi}{2} \cos \frac{\pi}{3} + \sin \frac{\pi}{2} \sin \frac{\pi}{3} \cos(4, 3),$$

используя (5), получим:

$$\cos(4, 3) = -\frac{1}{2\sqrt{3}} + \frac{\sqrt{3}}{2} \cos(3, 6), \quad (6)$$

где  $\cos(3, 6)$  определяется из (4).

Пусть  $\lambda$  — тупой угол  $BGL$  равнобедренной трапеции  $KBGL$ ,  $\mu$  — равные углы  $BGF$  и  $BCF$ ,  $(4, 3)'$  — двугранный угол с ребром  $FG$  плоскости  $FGB$  с плоскостью квадратной грани  $LGFM$ . Тогда из равенства  $\cos \lambda = \cos(\pi/2) \cos \mu + \sin(\pi/2) \sin \mu \cos(4, 3)'$  находим:

$$\cos \lambda = \sin \mu \cos(4, 3'). \quad (7)$$

Очевидно,

$$(4, 3)' = (4, 3) - \omega, \quad (8)$$

где  $\omega$  — двугранный угол с ребром  $FG$  трёхгранного угла  $FGBC$ . Из равенства

$$\cos \left( \frac{\pi}{2} - \frac{\mu}{2} \right) = \cos \frac{\pi}{3} \cos \left( \frac{\pi}{2} - \frac{\mu}{2} \right) + \sin \frac{\pi}{3} \sin \left( \frac{\pi}{2} - \frac{\mu}{2} \right) \cos \omega$$

находим:

$$\cos \omega = \frac{1}{\sqrt{3}} \operatorname{tg} \frac{\mu}{2}. \quad (9)$$

Равенство (7) с учётом (8), (6), (9) принимает вид:

$$\cos \lambda = \sin \mu \cos \left( \arccos \left( -\frac{1}{2\sqrt{3}} + \frac{\sqrt{3}}{2} \cos(3, 6) \right) - \arccos \frac{1}{\sqrt{3}} \operatorname{tg} \frac{\mu}{2} \right). \quad (10)$$

Далее найдём  $\cos \mu$  как функцию угла  $\gamma$ . Из равенства

$$\cos \mu = \cos \frac{\pi}{3} \cos \frac{\pi}{3} + \sin \frac{\pi}{3} \sin \frac{\pi}{3} \cos \hat{\mu},$$

где  $\hat{\mu}$  — двугранный угол с ребром  $GC$  трёхгранного угла  $GBCF$ , находим:

$$\cos \mu = \frac{1}{4} + \frac{3}{4} \cos \hat{\mu}. \quad (11)$$

Угол  $\widehat{\mu} = \widehat{\mu}' + \widehat{\mu}''$ , где  $\widehat{\mu}'$  — двугранный угол с ребром  $GC$  трёхгранных углов  $CEGD$ , а  $\widehat{\mu}''$  — двугранный угол с ребром  $GC$  трёхгранных углов  $CGBD$ . Из равенства

$$\cos \delta = \cos \frac{\pi}{3} \cos \gamma + \sin \frac{\pi}{3} \sin \gamma \cos \widehat{\mu}'$$

с учётом (1) получим:

$$\cos \widehat{\mu}' = \frac{1 - 2 \sin \frac{\gamma}{2} - \cos \gamma}{\sqrt{3} \sin \gamma}. \quad (12)$$

Аналогично из равенства

$$\cos \frac{\pi}{3} = \cos \frac{\pi}{3} \cos \gamma + \sin \frac{\pi}{3} \sin \gamma \cos \widehat{\mu}''$$

найдём:

$$\cos \widehat{\mu}'' = \frac{1 - \cos \gamma}{\sqrt{3} \sin \gamma}. \quad (13)$$

Подставив из (12) и (13) сумму  $\widehat{\mu} = \widehat{\mu}' + \widehat{\mu}''$  в (11), получим:

$$\cos \mu = \frac{1}{4} + \frac{3}{4} \cos \left( \arccos \frac{1 - 2 \sin \frac{\gamma}{2} - \cos \gamma}{\sqrt{3} \sin \gamma} + \arccos \frac{1 - \cos \gamma}{\sqrt{3} \sin \gamma} \right). \quad (14)$$

В силу равнобедренности трапеции  $KBGL$ , аналогично равенству (1) найдём

$$1 - 2 \sin \frac{\alpha}{2} = 2 \cos \lambda,$$

откуда

$$\cos \alpha = \frac{1 + 4 \cos \lambda - 4 \cos^2 \lambda}{2}. \quad (15)$$

Равенство (15) представляет  $\cos \alpha$  как функцию угла  $\gamma$ , что можно видеть из (10), если принять во внимание (14) и (4).

Нашей целью будет теперь найти выражение для  $\beta$  как функции угла  $\gamma$ .

Пусть  $\sigma$  — угол  $ABC$  и в силу симметрии равный ему угол  $CBH$ . Из симметричного трёхгранного угла  $CABH$  находим:

$$\cos \beta = \cos^2 \sigma + (1 - \cos^2 \sigma) \cos \widehat{a}, \quad (16)$$

где  $\widehat{a}$  — двугранный угол при ребре  $BC$ .

Пусть  $\widehat{\sigma}$  — двугранный угол с ребром  $BG$  между гранями  $ABG$  и  $CBG$ . Имеем  $\widehat{\sigma} = \widehat{\sigma}' + \widehat{\sigma}''$ . Здесь:  $\widehat{\sigma}'$  — двугранный угол с ребром  $BG$  между гранью  $ABG$  и плоскостью трапеции  $KBGL$ , а  $\widehat{\sigma}''$  — двугранный угол с ребром  $BG$  трёхгранных углов  $GLBC$ . Для  $\widehat{\sigma}'$  и  $\widehat{\sigma}''$  имеем:

$$\cos \left( \frac{\pi}{2} - \frac{\alpha}{2} \right) = \cos \frac{\pi}{3} \cos \phi + \sin \frac{\pi}{3} \sin \phi \cos \widehat{\sigma}', \quad (17)$$

где  $\phi$  — острый угол  $KBG$  трапеции  $KBGL$ , для которого

$$\cos \phi = \frac{1}{2} \left( 2 \sin \left( \frac{\alpha}{2} - 1 \right) \right)$$

в силу равнобедренности трапеции;

$$\cos \kappa = \cos \frac{\pi}{3} \cos \lambda + \sin \frac{\pi}{3} \sin \lambda \cos \widehat{\sigma}''. \quad (18)$$

Из (17) и (18) соответственно находим:

$$\cos \widehat{\sigma}' = \frac{1 + 2 \sin \frac{\alpha}{2}}{\sqrt{3} \sqrt{3 + 4 \sin \frac{\alpha}{2} - 4 \sin^2 \frac{\alpha}{2}}}, \quad \cos \widehat{\sigma}'' = \frac{4 \cos \kappa - 1 + 2 \sin \frac{\alpha}{2}}{\sqrt{3} \sqrt{3 + 4 \sin \frac{\alpha}{2} - 4 \sin^2 \frac{\alpha}{2}}}. \quad (19)$$

Таким образом,

$$\cos \widehat{\sigma} = \cos \left( \arccos \left( \frac{1 + 2 \sin \frac{\alpha}{2}}{\sqrt{3} \sqrt{3 + 4 \sin \frac{\alpha}{2} - 4 \sin^2 \frac{\alpha}{2}}} \right) + \arccos \left( \frac{4 \cos \kappa - 1 + 2 \sin \frac{\alpha}{2}}{\sqrt{3} \sqrt{3 + 4 \sin \frac{\alpha}{2} - 4 \sin^2 \frac{\alpha}{2}}} \right) \right), \quad (20)$$

где  $\cos \kappa$  в силу (5) и (4), а  $\sin \frac{\alpha}{2}$  — в силу (15), являются функциями  $\gamma$ . Таким образом,  $\cos \widehat{\sigma}$  является функцией  $\gamma$ .

Из трёхгранного угла  $BAGC$  находим

$$\cos \sigma = \frac{1}{4} + \frac{3}{4} \cos \hat{\sigma},$$

или, пользуясь (20),

$$\begin{aligned} \cos \sigma = \frac{1}{4} + \frac{3}{4} \cos & \left( \arccos \left( \frac{1 + 2 \sin \frac{\alpha}{2}}{\sqrt{3} \sqrt{3 + 4 \sin \frac{\alpha}{2} - 4 \sin^2 \frac{\alpha}{2}}} \right) + \right. \\ & \left. + \arccos \left( \frac{4 \cos \kappa - 1 + 2 \sin \frac{\alpha}{2}}{\sqrt{3} \sqrt{3 + 4 \sin \frac{\alpha}{2} - 4 \sin^2 \frac{\alpha}{2}}} \right) \right). \end{aligned} \quad (21)$$

Рассмотрим трёхгранный угол  $CABH$  с двугранным углом  $\hat{a}$  при ребре  $BC$ , входящим в равенство (16). Очевидно, что  $\hat{a} = \bar{a} - 2\hat{\rho}$ , где  $\bar{a}$ —двуугранный угол с ребром  $BC$  между гранями  $CGB$  и  $DCB$ , а  $\hat{\rho}$ —двуугранный угол с ребром  $BC$  в симметричном трёхгранном угле  $BAGC$ . Для последнего угла из равенства

$$\cos \frac{\pi}{3} = \cos \frac{\pi}{3} \cos \sigma + \sin \frac{\pi}{3} \sin \sigma \cos \hat{\rho}$$

найдём

$$\cos \hat{\rho} = \arccos \left( \frac{1 - \cos \sigma}{\sqrt{3} \sin \sigma} \right). \quad (22)$$

Двуугранный угол  $\bar{a}$  найдём из равенства

$$\cos \gamma = \cos \frac{\pi}{3} \cos \sigma + \sin \frac{\pi}{3} \sin \sigma \cos \bar{a}$$

следующим образом:

$$\cos \bar{a} = \frac{4 \cos \gamma - 1}{3}. \quad (23)$$

Подставляя (22) и (23) в равенство  $\hat{a} = \bar{a} - 2\hat{\rho}$ , получим

$$\hat{a} = \arccos \left( \frac{4 \cos \gamma - 1}{3} \right) - 2 \arccos \left( \frac{1 - \cos \sigma}{\sqrt{3} \sin \sigma} \right). \quad (24)$$

Подставляя  $\hat{a}$  из (24) в равенство (16), получим

$$\cos \beta = \cos^2 \sigma + (1 - \cos^2 \sigma) \cos \left( \arccos \left( \frac{4 \cos \gamma - 1}{3} \right) - 2 \arccos \left( \frac{1 - \cos \sigma}{\sqrt{3} \sin \sigma} \right) \right), \quad (25)$$

где  $\cos \sigma$  определяется из (21). В равенстве (21)  $\cos \kappa$  находится как функция  $\gamma$  из (5) и (4), а угол  $\alpha$  выражается из (15) как функция  $\lambda$ ;  $\lambda$ , в свою очередь, является функцией  $\gamma$ , как легко видеть из (10), учитывая (14) и (4).

Таким образом,  $\cos \beta$  и  $\cos \alpha$  являются функциями  $\gamma$ . Так как для треугольной ромбической вершины  $V$  должно выполняться равенство  $\beta = \alpha$ , то из (15) и (25) находим основное уравнение для *RR*-многогранника:

$$\frac{1 + 4 \cos \lambda - 4 \cos^2 \lambda}{2} = \cos^2 \sigma + \sin^2 \sigma \cos \left( \arccos \left( \frac{4 \cos \gamma - 1}{3} \right) - 2 \arccos \left( \frac{1 - \cos \sigma}{\sqrt{3} \sin \sigma} \right) \right). \quad (26)$$

Здесь левая часть есть  $\cos \alpha$ , а правая равна  $\cos \beta$ .

Численное решение уравнения (26) даёт единственный корень  $\gamma = 2,01\dots$ , или  $\gamma = 115,31^\circ\dots$  Следовательно, тупые углы ромбов при вершине  $V$  равны  $\alpha = \beta = 112,17^\circ\dots$  Заметим, что когда  $\alpha$  уменьшается от значения, близкого к  $\pi$ , то  $\gamma$  увеличивается от значения, близкого к  $108^\circ$ , достигая найденного значения  $\gamma = 115,31^\circ\dots$

Таким образом, искомый *RR*-многогранник построен, (см. рис. 1(b)). На рис. 1(c) показан его вид со стороны 6-угольной грани. Теорема 1 доказана.  $\square$

**Теорема 2.** *Существует несоставной *RR*-многогранник с одной ромбической вершиной степени 4 и с двадцатью пятью гранями, принадлежащий ко второму типу.*

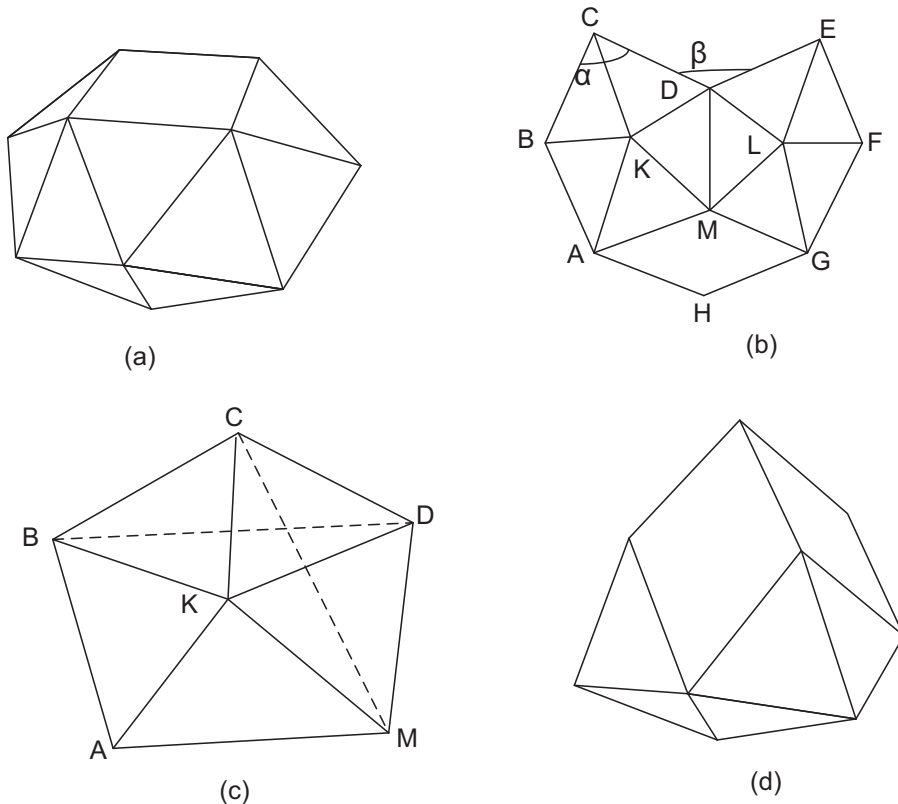


Рис. 2. (а) — плосконосая квадратная антипризма; (б) — к доказательству теоремы 2; (д) — ромбическая плосконосая квадратная «антипризма».

*Доказательство.* *RR*-многогранник, существование которого здесь будет доказано, является в некотором смысле «родственным» построенному в теореме 1.

Рассмотрим один из многогранников Джонсона — *J85* — плосконосую квадратную антипризму, рис. 2(а). Удалим четыре треугольных грани, смежные по ребру верхней квадратной грани, и саму квадратную грань. Получим многогранную поверхность *M* с треугольными и одной квадратной гранью. Многогранник *M* ограничен пространственной ломаной, часть *BCDEF* которой показана на схематичном рисунке 2(б). Нашей целью будет присоединение к краю  $\dots BCDEF \dots$  этой поверхности симметричной 4-ромбической звезды. Для этого будет дан вывод характеристического уравнения, аналогичный выводу характеристического уравнения для многогранника, связанного с икосаэдром (см. [7]).

Обозначим  $\Gamma$  граничную ломаную  $\dots BCDEF \dots$ . Плоский угол между рёбрами *CB* и *CD* ломаной  $\Gamma$ , а также все такие углы, которые эквивалентны ему относительно оси вращения 4-го порядка, перпендикулярной оставшейся квадратной грани, обозначим  $\alpha$ . Плоский угол между рёбрами *CD* и *ED* и между рёбрами, им эквивалентными, обозначим  $\beta$ , (см. рис. 2(б)).

Рассмотрим трёхгранный угол *MCDE* с вершиной *M*. Обозначим  $\theta$  равные в силу симметрии *M* плоские углы  $\widehat{CDM}$  и  $\widehat{CKM}$ . Пусть  $\Phi$  — двугранный угол с ребром *MD* трёхгранныго угла *MCDE*. Справедливо равенство

$$\cos \beta = \cos^2 \theta + \sin^2 \theta \cos \Phi. \quad (27)$$

В силу симметрии многогранника *M* четырёхугольник *ABDM* является равнобедренной трапецией:  $BD \parallel AM$ ,  $AB = MD$ ; равные тупые углы  $\widehat{BAM}$  и  $\widehat{DMA}$  обозначим  $\gamma$ .

Так как  $\widehat{BCD} = \widehat{BKD} = \alpha$ , то, считая рёбра многогранника  $M$  единичными, получаем, что длина отрезка  $BD = 2 \sin \frac{\alpha}{2}$ . Поэтому

$$\cos \gamma = \frac{1}{2} \left( 1 - 2 \sin \frac{\alpha}{2} \right). \quad (28)$$

Пусть угол  $\varphi$  — двугранный угол при ребре  $MD$  трёхгранного угла  $MADC$ . Тогда, учитывая, что  $\widehat{AMG} = \frac{\pi}{2}$ , для  $\varphi$  имеем соотношение:

$$\cos \frac{\pi}{2} = \cos^2 \gamma + \sin^2 \gamma \cos \varphi,$$

т.е., учитывая (28):

$$0 = \left( \frac{1 - 2 \sin \frac{\alpha}{2}}{2} \right)^2 + \left( 1 - \left( \frac{1 - 2 \sin \frac{\alpha}{2}}{2} \right)^2 \right) \cos \varphi. \quad (29)$$

Из (29) находим:

$$\varphi = \arccos \frac{-1 + 4 \sin \frac{\beta}{2} - 4 \sin^2 \frac{\beta}{2}}{3 + 4 \sin \frac{\beta}{2} - 4 \sin^2 \frac{\beta}{2}}. \quad (30)$$

Двугранный угол  $\Phi$  можно представить в виде:

$$\Phi = \varphi - 2\kappa, \quad (31)$$

где  $\kappa$  — двугранный угол между плоскостями  $CDM$  и плоскостью трапеции  $ABDM$ .

Пусть  $\lambda$  — острый угол плоскости треугольника  $MKD$  с плоскостью трапеции  $ABDM$ . Тогда для трёхгранного угла  $MAKD$  получим

$$\cos \frac{\pi}{3} = \cos \frac{\pi}{3} \cos \gamma + \sin \frac{\pi}{3} \sin \gamma \cos \lambda,$$

откуда

$$\cos \lambda = \frac{1 + 2 \sin \frac{\alpha}{2}}{\sqrt{3} \sqrt{3 + 4 \sin \frac{\alpha}{2} - 4 \sin^2 \frac{\alpha}{2}}}. \quad (32)$$

Пусть  $\mu$  — угол между плоскостью треугольника  $MKD$  с плоскостью  $MDC$ . Тогда, рассматривая трёхгранный угол  $MKCD$ , имеем уравнение

$$\cos \left( \frac{\pi}{2} - \frac{\theta}{2} \right) = \cos \left( \frac{\pi}{2} - \frac{\theta}{2} \right) \cos \frac{\pi}{3} + \sin \left( \frac{\pi}{2} - \frac{\theta}{2} \right) \sin \frac{\pi}{3} \cos \mu,$$

из которого находим:

$$\cos \mu = \frac{\operatorname{tg} \frac{\theta}{2}}{\sqrt{3}}. \quad (33)$$

Учитывая (32) и (33), получим выражение для двугранного угла  $\kappa$ :

$$\kappa = \arccos \left( \frac{\operatorname{tg} \frac{\theta}{2}}{\sqrt{3}} \right) - \arccos \left( \frac{1}{3} \frac{(1 + 2 \sin \frac{\alpha}{2}) \sqrt{3}}{\sqrt{3 + 4 \sin \frac{\alpha}{2} - 4 \sin^2 \frac{\alpha}{2}}} \right). \quad (34)$$

Подставляя выражения  $\varphi$  из (30) и  $\kappa$  из (34) в (31), получим:

$$\Phi = \arccos \frac{-1 + 4 \sin \frac{\alpha}{2} - 4 \sin^2 \frac{\alpha}{2}}{3 + 4 \sin \frac{\alpha}{2} - 4 \sin^2 \frac{\alpha}{2}} - 2 \arccos \left( \frac{\operatorname{tg} \frac{\theta}{2}}{\sqrt{3}} \right) + 2 \arccos \left( \frac{1}{3} \frac{(1 + 2 \sin \frac{\alpha}{2}) \sqrt{3}}{\sqrt{3 + 4 \sin \frac{\alpha}{2} - 4 \sin^2 \frac{\alpha}{2}}} \right). \quad (35)$$

Теперь осталось найти только выражение угла  $\theta$  через  $\alpha$ . Для этого представим двугранный угол  $\omega$  с ребром  $KD$  как сумму двух двугранных углов, угла  $\omega_1$  между плоскостями  $BKD$  и  $CKD$  и угла  $\omega_2$  между плоскостями  $BKD$  и  $KDM$ . Для трёхгранного угла  $KBKD$  имеем выражение

$$\cos \frac{\pi}{3} = \cos \alpha \cos \frac{\pi}{3} + \sin \alpha \sin \frac{\pi}{3} \cos \omega_1,$$

из которого находим

$$\cos \omega_1 = \frac{\operatorname{tg} \frac{\alpha}{2}}{\sqrt{3}}. \quad (36)$$

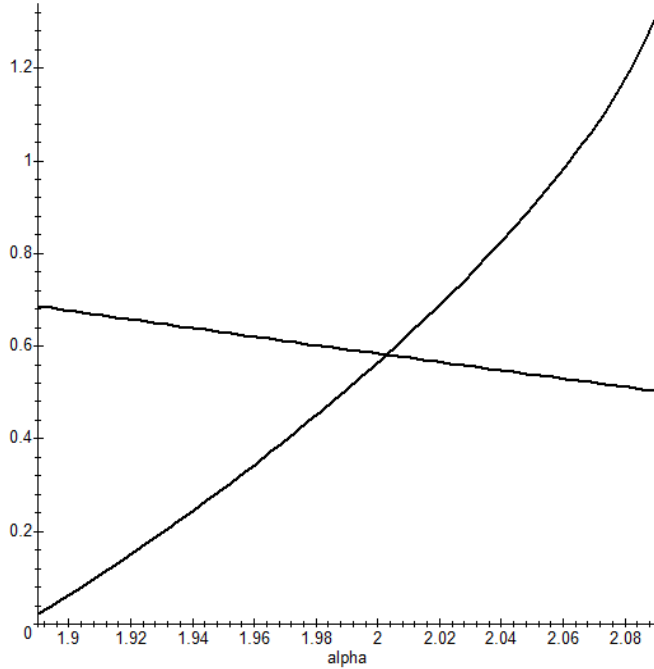


Рис. 3. Решение уравнения (42).

Аналогично из выражения для трёхгранного угла  $DBKM$

$$\frac{1}{2} \left( 2 \sin \frac{\alpha}{2} - 1 \right) = \cos \frac{\pi}{3} \cos \left( \frac{\pi}{2} - \frac{\alpha}{2} \right) + \sin \frac{\pi}{3} \sin \left( \frac{\pi}{2} - \frac{\alpha}{2} \right) \cos \omega_2$$

находим

$$\cos \omega_2 = \frac{\sin \frac{\alpha}{2} - 1}{\sqrt{3} \cos \frac{\alpha}{2}}. \quad (37)$$

Из трёхгранного угла  $DCKM$  находим:

$$\cos \theta = \cos^2 \frac{\pi}{3} + \sin^2 \frac{\pi}{3} \cos \omega, \quad \cos \theta = \frac{1}{4} + \frac{3}{4} \cos \omega. \quad (38)$$

Так как  $\omega = \omega_1 + \omega_2$ , то, принимая во внимание (36) и (37), из (38) получим

$$\cos \theta = \frac{1}{4} + \frac{3}{4} \cos \left( \arccos \frac{\sin \frac{\alpha}{2} - 1}{\sqrt{3} \cos \frac{\alpha}{2}} + \arccos \frac{\sin \frac{\alpha}{2}}{\sqrt{3} \cos \frac{\alpha}{2}} \right). \quad (39)$$

Можно показать, что углы  $\alpha$  и  $\beta$  для остроугольной ромбической вершины связаны соотношением, вывод которого приведён в [5]. В обозначениях настоящей работы это соотношение имеет вид

$$\sin \frac{\beta}{2} = \frac{\sin \frac{\alpha}{2}}{2 \sin \frac{\pi(n-2)}{2n}}, \quad (40)$$

где  $n$  — степень ромбической вершины. Заметим, что для доказательства (40) достаточно сравнить два выражения для двугранного угла между двумя соседними ромбами ромбической вершины. В частности, при  $n = 4$  формула (40) принимает вид

$$\sin \frac{\alpha}{2} = \sqrt{2} \sin \frac{\beta}{2} \iff \cos \beta = \cos^2 \frac{\alpha}{2}. \quad (41)$$

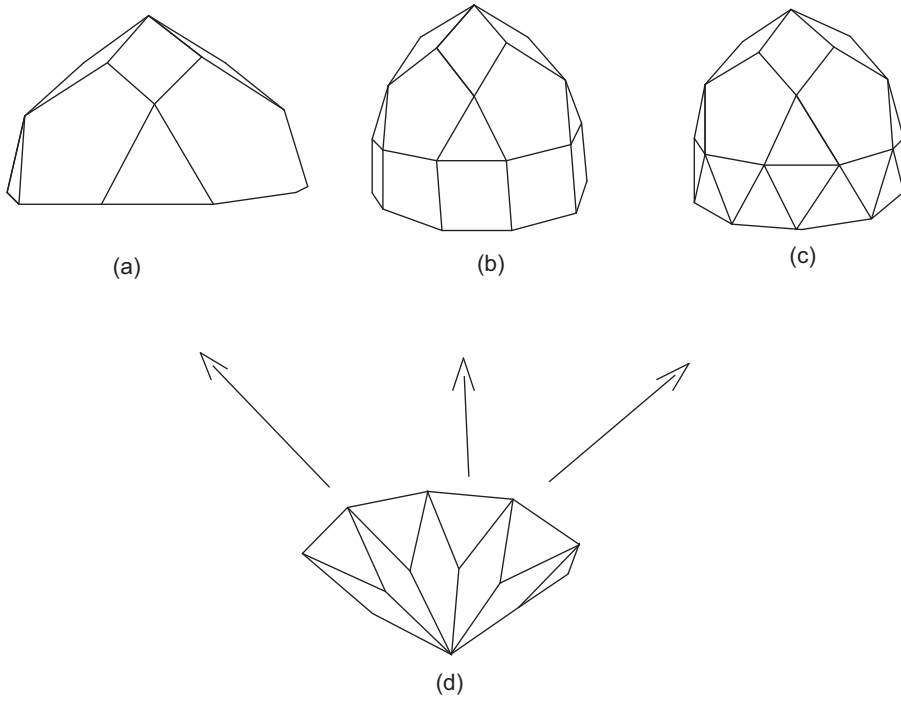


Рис. 4. К замечанию 1: (а) — удлинённая 5-угольная ротонда; (б), (с) — многогранники на основе удлинённой 5-угольной ротонды; (д) — 10-ромбическая пирамида.

С другой стороны, имеем для угла  $\beta$  соотношение (27). С учетом (41), (35) и (39) уравнение (27) принимает вид

$$\cos^2 \frac{\alpha}{2} = \cos^2 \theta + \sin^2 \theta \cos \left( 2 \arccos \left( \frac{1}{3} \frac{(1 + 2 \sin \frac{\alpha}{2}) \sqrt{3}}{\sqrt{3 + 4 \sin \frac{\alpha}{2} - 4 \sin^2 \frac{\alpha}{2}}} \right) - 2 \arccos \frac{\operatorname{tg} \frac{\theta}{2}}{\sqrt{3}} + \arccos \frac{-1 + 4 \sin \frac{\alpha}{2} - 4 \sin^2 \frac{\alpha}{2}}{3 + 4 \sin \frac{\alpha}{2} - 4 \sin^2 \frac{\alpha}{2}} \right), \quad (42)$$

где

$$\cos \theta = \frac{1}{4} + \frac{3}{4} \cos \left( \arccos \frac{\sin \frac{\alpha}{2} - 1}{\sqrt{3} \cos \frac{\alpha}{2}} + \arccos \frac{\operatorname{tg} \frac{\alpha}{2}}{\sqrt{3}} \right). \quad (43)$$

□

С помощью компьютерного вычисления корня уравнения (42) получаем единственный корень:  $\alpha = 114,75^\circ \dots$ , и острый угол ромбов ромбической вершины  $\beta = 73,10^\circ \dots$

На рис. 3 показано пересечение графиков левой и правой частей уравнения (42).

Таким образом, из решения видим, что искомый многогранник существует и является единственным с точностью до подобия. Искомый многогранник представлен на рис. 2(d).

**Замечание 1.** При перечислении несоставных *RR*-многогранников второго типа мы не учтываем известные многогранники с правильными гранями и с условными рёбрами, имеющие симметричные ромбические вершины, (см. [19]). Напомним, что условные рёбра в списке работы [19] — это диагонали ромбических граней, разбивающие ромб на два *правильных* треугольника.

Укажем ещё три несоставных *RR*-многогранника второго типа, у которых существуют ромбические вершины как с углами ромбов, равными  $\pi/3$ , так и такие вершины, в которых углы

ромбов отличны от  $\pi/3$ . Такие многогранники получаются присоединением 10-ромбической пирамиды (d) на рис. 4 к 5-угольной удлинённой ротонде рис. 4(a) и к двум другим многогранникам, изображённым на рис. 4(b)-(c).

Таким образом, в отличие от *RR*-многогранников первого типа, многогранники второго типа могут содержать такие симметричные ромбические вершины, что ромбы одной из них не равны ромбам другой вершины.

**Замечание 2.** Из вышеизложенных результатов следует, что *RR*-многогранники можно рассматривать как обобщение класса правильногранных многогранников с условными рёбрами, приведённого в [19].

## СПИСОК ЛИТЕРАТУРЫ

1. Деза М., Гришухин В. П., Штогрин А. И. Изометрические полиэдральные подграфы в гиперкубах и кубических решетках. — М.: МЦНМО, 2007.
2. Залгаллер В. А. Выпуклые многогранники с правильными гранями// Зап. науч. семин. ЛОМИ. — 1967. — 2. — С. 1–220.
3. Субботин В. И. Об одном классе сильно симметричных многогранников// Чебышев. сб. — 2016. — № 4. — С. 132–140.
4. Субботин В. И. О двух классах многогранников с ромбическими вершинами// Зап. науч. семин. ПОМИ. — 2018. — 476. — С. 153–164.
5. Субботин В. И. О полноте списка выпуклых *RR*-многогранников// Чебышев. сб. — 2020. — 21, № 1. — С. 297–309.
6. Субботин В. И. Существование и полнота перечисления трёхмерных *RR*-многогранников// в кн.: Геометрические методы в теории управления и математической физике. — Рязань: Изд-во Рязан. гос. ун-та, 2021. — С. 15.
7. Субботин В. И. О существовании *RR*-многогранников, связанных с икосаэдром// Чебышев. сб. — 2021. — 22, № 4. — С. 253–264.
8. Субботин В. И. О составных *RR*-многогранниках второго типа// Владикавказ. мат. ж. — 2022. — 24, № 1. — С. 100–108.
9. Berman M. Regular-faced convex polyhedra// J. Franklin Inst. — 1971. — 291, № 5. — P. 329–352.
10. Bokowski J., Wills J. M. Regular polyhedra with hidden symmetries// Math. Intel. — 1988. — 10. — P. 27–32.
11. Coxeter H. S. M. Regular Polytopes. — New York: Dover, 1973.
12. Coxeter H. S. M. Regular and semi-regular polytopes, III// Math. Z. — 1988. — 200, № 21. — P. 3–45.
13. Cromwell P. R. Polyhedra. — Cambridge: Cambridge Univ. Press, 1999.
14. Grunbaum B. Regular polyhedra: Old and new// Aequat. Math. — 1977. — 16, № 1–2. — P. 1–20.
15. Johnson N. W. Convex polyhedra with regular faces// Can. J. Math. — 1966. — 18, № 1. — P. 169–200.
16. McMullen P. Geometric Regular Polytopes. — Cambridge: Cambridge Univ. Press, 2020.
17. Schulte E. Symmetry of polytopes and polyhedra// in: Handbook of Discrete and Computational Geometry (Goodman J. E., O'Rourke J., Toth C. D., eds.). — CRC Press, 2017.
18. Schulte E., Wills J. M. On Coxeter's regular skew polyhedra// Discr. Math. — 1986. — 60. — P. 253–262.
19. Tupelo-Schnecke R. Convex regular-faced polyhedra with conditional edges// <http://tupelo-schnecke.org/polyhedra/>.

Субботин Владимир Иванович  
 Южно-Российский государственный политехнический университет  
 имени М. И. Платова, Новочеркасск;  
 Донской государственный аграрный университет, пос. Персиановский, Ростовская область  
 E-mail: [geometry@mail.ru](mailto:geometry@mail.ru)